

# 内江市高中 2025 届第一次模拟考试题

## 地 理

本试卷共 6 页。全卷满分 100 分,考试时间为 75 分钟。

注意事项:

1. 答题前,考生务必将自己的姓名、考号、班级用签字笔填写在答题卡相应位置。
2. 选择题选出答案后,用 2B 铅笔把答题卡上对应题目的答案标号涂黑。如需改动,用橡皮擦干净后,再选涂其它答案。不能答在试题卷上。
3. 非选择题用签字笔将答案直接答在答题卡相应位置上。
4. 考试结束后,监考人员将答题卡收回。

一、选择题:本题共 15 个小题,每小题 3 分,共 45 分。在每小题的四个选项中,只有一项是符合题目要求的。

表 1 为天山南坡柯奇卡尔冰川末端 1、3、5、7 月到达地面的太阳辐射、地面反射辐射均值及地表反照率(地面反射辐射/总辐射)。据此完成 1~2 题。

表 1

月份	太阳辐射( $W \cdot m^{-2}$ )	地面反射辐射( $W \cdot m^{-2}$ )	反照率
1	400.7	216.4	0.54
3	544.6	238.4	0.44
5	576.3	145.2	0.25
7	553.1	125.8	0.23

1. 与 7 月相比,该地 5 月太阳辐射总量较大的主要原因是  
A. 太阳高度      B. 白昼长短      C. 冰雪反射      D. 天气状况
2. 与 3 月相比,该地 5 月地表反照率更低的主要原因是  
A. 植被覆盖率高      B. 冰雪快速融化  
C. 太阳辐射量少      D. 大气逆辐射弱

川西南的 M 河(L 河为其一级支流)流域滑坡多发,多数居民区和农田建在大型古滑坡堆积体上。滑坡灾害多在 M、L 河两岸,多处大型古滑坡堆积体存在复活迹象。图 1 示意 M 河流域沿  $28^{\circ}30'N$  的地质构造剖面。据此完成 3~5 题。

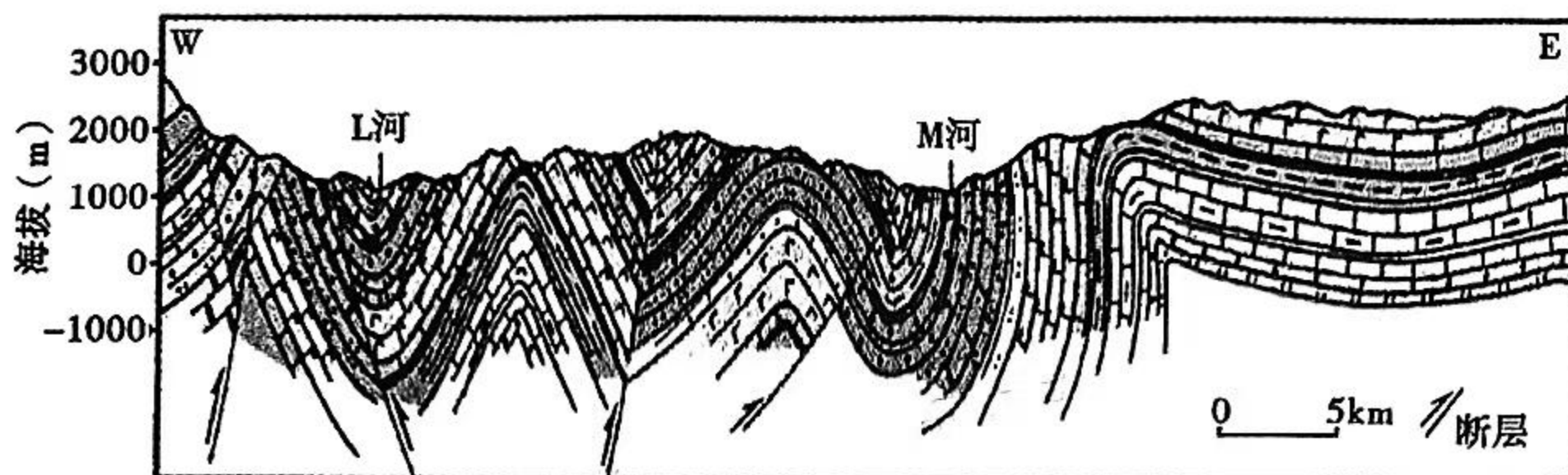


图1

3. 图中 L 河所在地的构造地貌为  
 A. 背斜山                      B. 背斜谷                      C. 向斜山                      D. 向斜谷
4. M、L 河两岸滑坡多发的根本原因是  
 A. 断裂发育                      B. 山河相间                      C. 植被稀少                      D. 人类活动
5. 人们对大型古滑坡堆积体开发利用前,需要  
 A. 采取加固措施                      B. 减少人类活动                      C. 加强调查评估                      D. 营造保护植被

华北地区某山地北侧于 2022 年 10 月 1 日到 2 日夜间出现的大暴雨天气,是低空越山急流和近地面弱冷空气共同作用形成。图 2 示意暴雨前后水平风场时间—高度剖面。据此完成 6~8 题。

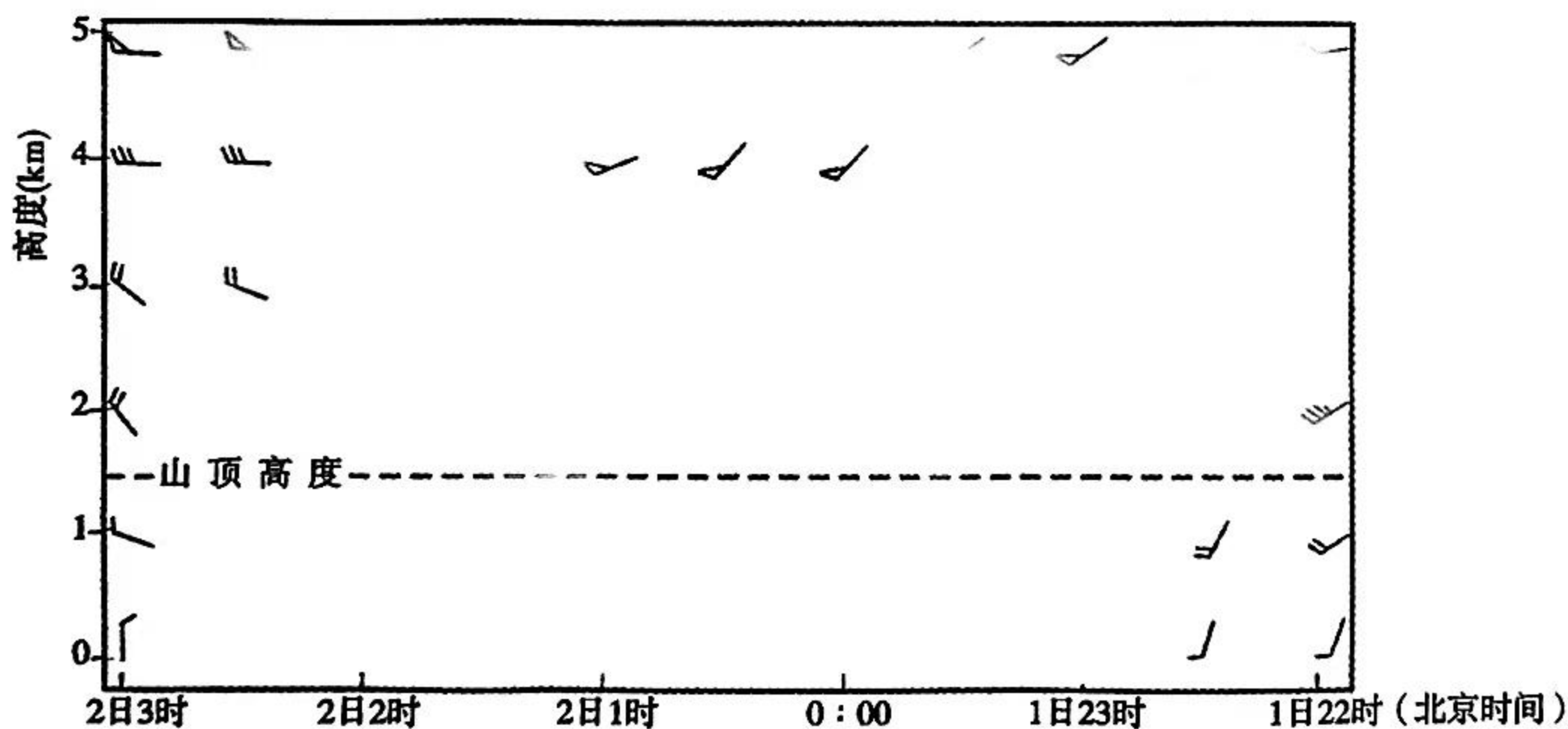


图2

6. 本次大暴雨开始出现的时间是  
 A. 1 日 22 时 30 分前后                      B. 1 日 23 时 30 分前后  
 C. 2 日 0 时 30 分前后                      D. 2 日 1 时 30 分前后
7. 低空越山急流到达山地北侧后的 3 小时内,近地面弱冷空气  
 A. 绕山流动                      B. 快速堆积                      C. 持续爬升                      D. 翻越山顶
8. 弱冷空气在本次大暴雨中的主要作用是  
 ①抬升西南急流                      ②增加尘埃杂质                      ③延长降雨时间                      ④提供足够水汽  
 A. ①②                      B. ①③                      C. ②③                      D. ②④

京津冀山区是华北平原主要产水区和水源涵养区。1985年林地占比35.8%，2020年上升至46.2%。2000年前修建水库调蓄洪水，2000年后山区城镇化迅速发展。图3为京津冀山区三个时段主要水平衡量(亿 $m^3$ /年)变化。据此完成9~10题。

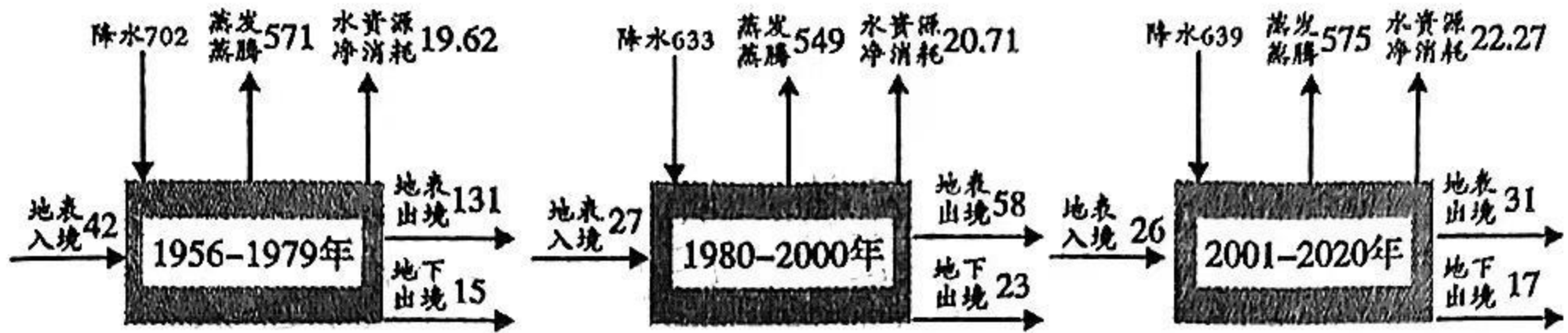


图3

9. 据图中三个时段水平衡变化推测,京津冀山区水平衡

- A. 失衡加剧      B. 失衡显现      C. 基本稳定      D. 稳定性强

10. 与1980-2000年相比,导致2001-2020年京津冀山区出境径流变化的主要原因是

- A. 入境水量减少      B. 塘库蓄水减少  
C. 森林蒸腾增强      D. 年降水量增加

净淡水通量指降水量与蒸发量的差值。孟加拉湾北部海域为热带季风气候区,表层海水盐度受降水量、蒸发量、海水运动等因素影响。图4示意该海域多年平均表层海水盐度、蒸发量、降水量、净淡水通量季节变化。据此完成11~12题。

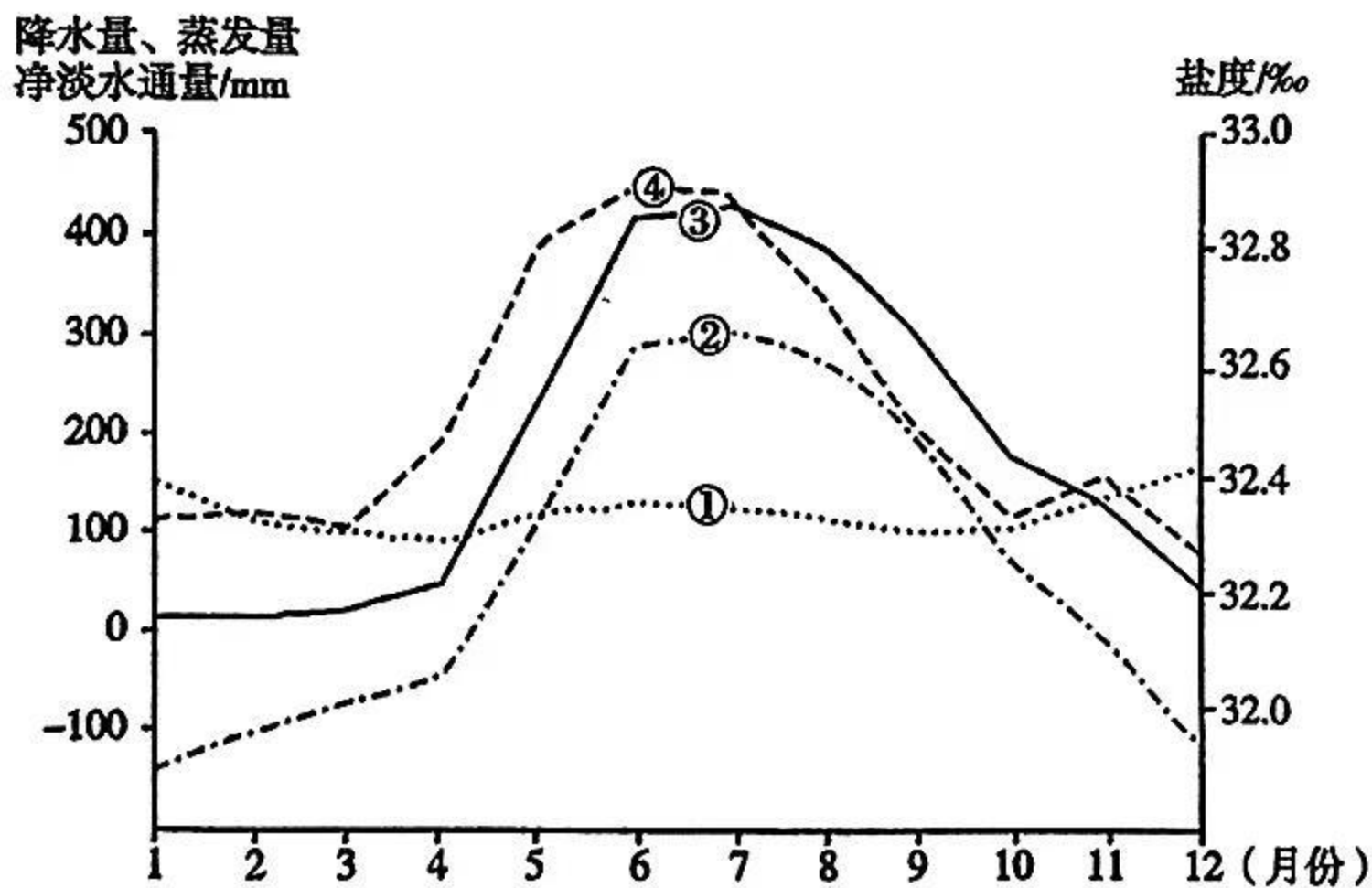


图4

11. 图中表示净淡水通量的曲线是

- A. ①      B. ②      C. ③      D. ④

12. 引起该海域表层海水盐度季节变化的主要因素是

- A. 降水量      B. 蒸发量      C. 季风洋流      D. 净淡水通量

图5为陕北黄土区某研究区域退耕还林后,同一坡向、坡度的沙棘、山桃、柠条、混交林等不同林地土壤剖面含水量的变化。据此完成13~15题。

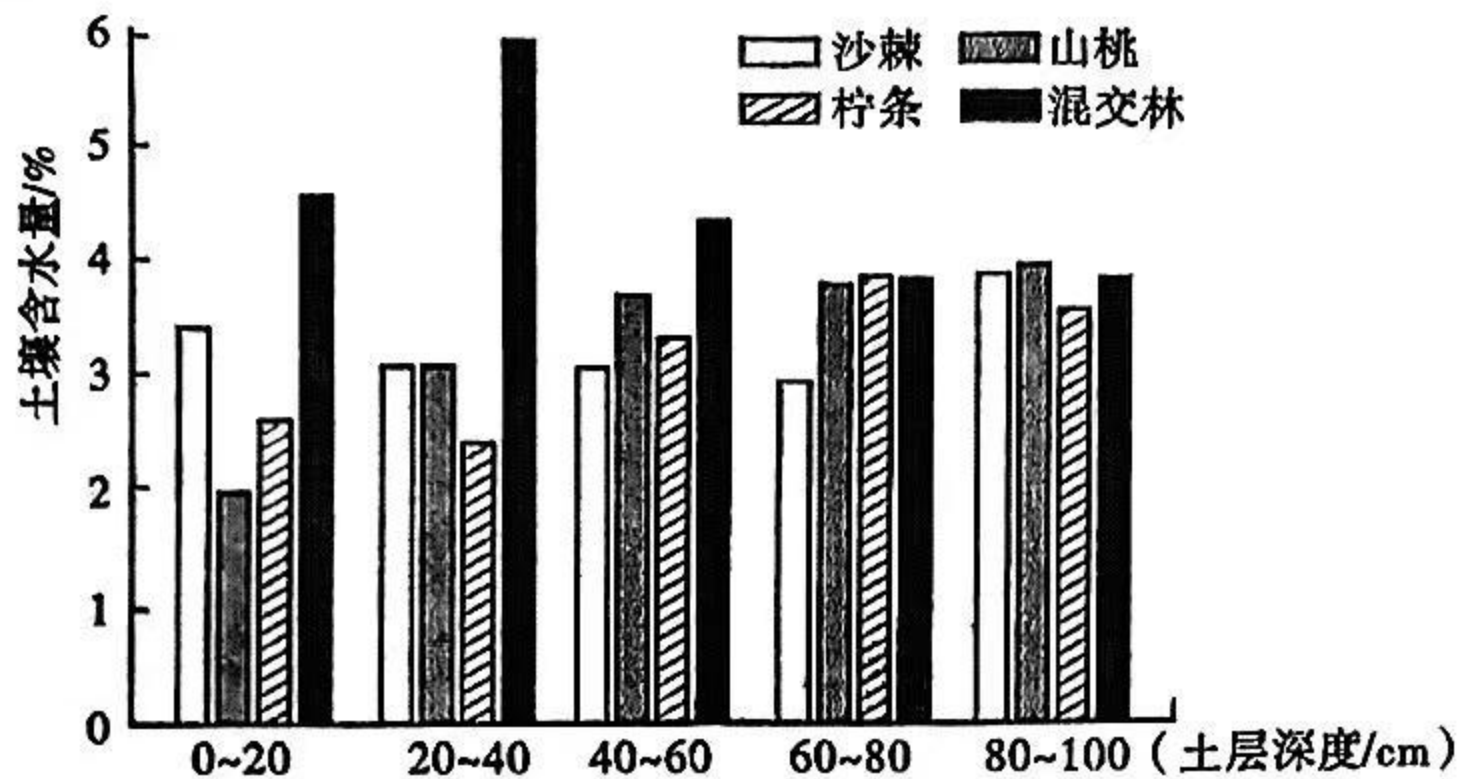


图5

13. 从材料看,退耕还林后造成土壤含水量差异的主要因素是  
 A. 降水                      B. 太阳辐射                      C. 地形                      D. 植被类型
14. 山桃林地表层(0~20cm)土壤含水量最低的原因主要是  
 A. 群落盖度差              B. 根系较发达                      C. 区域降雨少                      D. 地形坡度大
15. 推测四种林地中,地表凋落物最多的是  
 A. 沙棘林地                      B. 山桃林地                      C. 混交林地                      D. 柠条林地

二、非选择题:本大题共3小题,共55分。

16. 阅读图文材料,完成下列要求。(20分)

2014年7月中旬,南海北部大部分海表温度达29℃以上,盛行西南风,高空来自印度洋的西风急流异常偏强。源自太平洋的W台风在南海北部增强为超强台风。台风过境时,海面风大浪高,引起上下层水体混合。图6示意W台风移动轨迹。

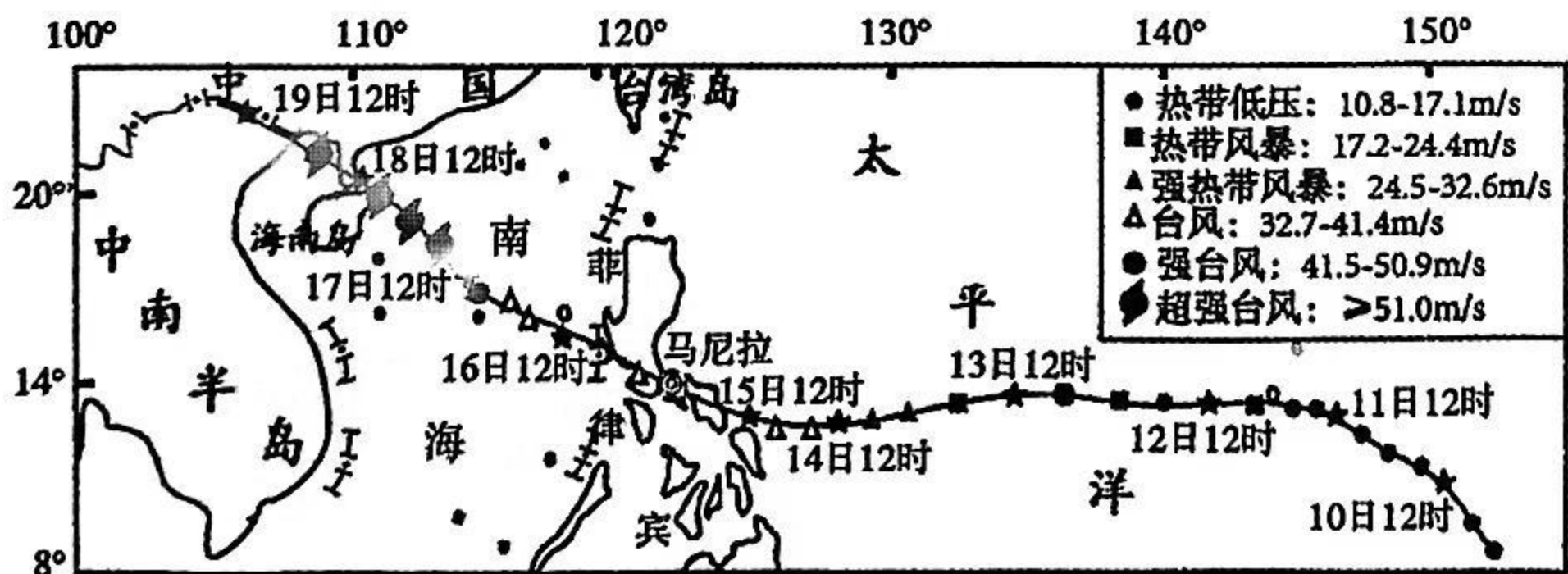


图6

(1) 简述 W 台风在南海北部演变为超强台风的条件。(8 分)

(2) 与 15 日 12 时相比, 指出马尼拉 16 日 12 时的天气变化特征。(6 分)

(3) 分析台风过境时海水表面温度的变化。(6 分)

17. 阅读图文材料, 完成下列要求。(20 分)

潮差是在一个潮汐周期内相邻高、低潮位间的差值(单位:米)。杭州湾涌潮携带大量泥沙。钱塘江河口段的治江缩窄工程影响着潮汐的进水量和涌潮起点(径流与潮水交汇处)。钱塘江径流季节变化明显, 尖山至澉浦段的水下沙坎向东倾斜, 存在上冲下淤动态变化。尖山潮滩形态变化受径流和涌潮影响。图 7 示意杭州湾海域等潮差线分布和尖山潮滩的形态变化。

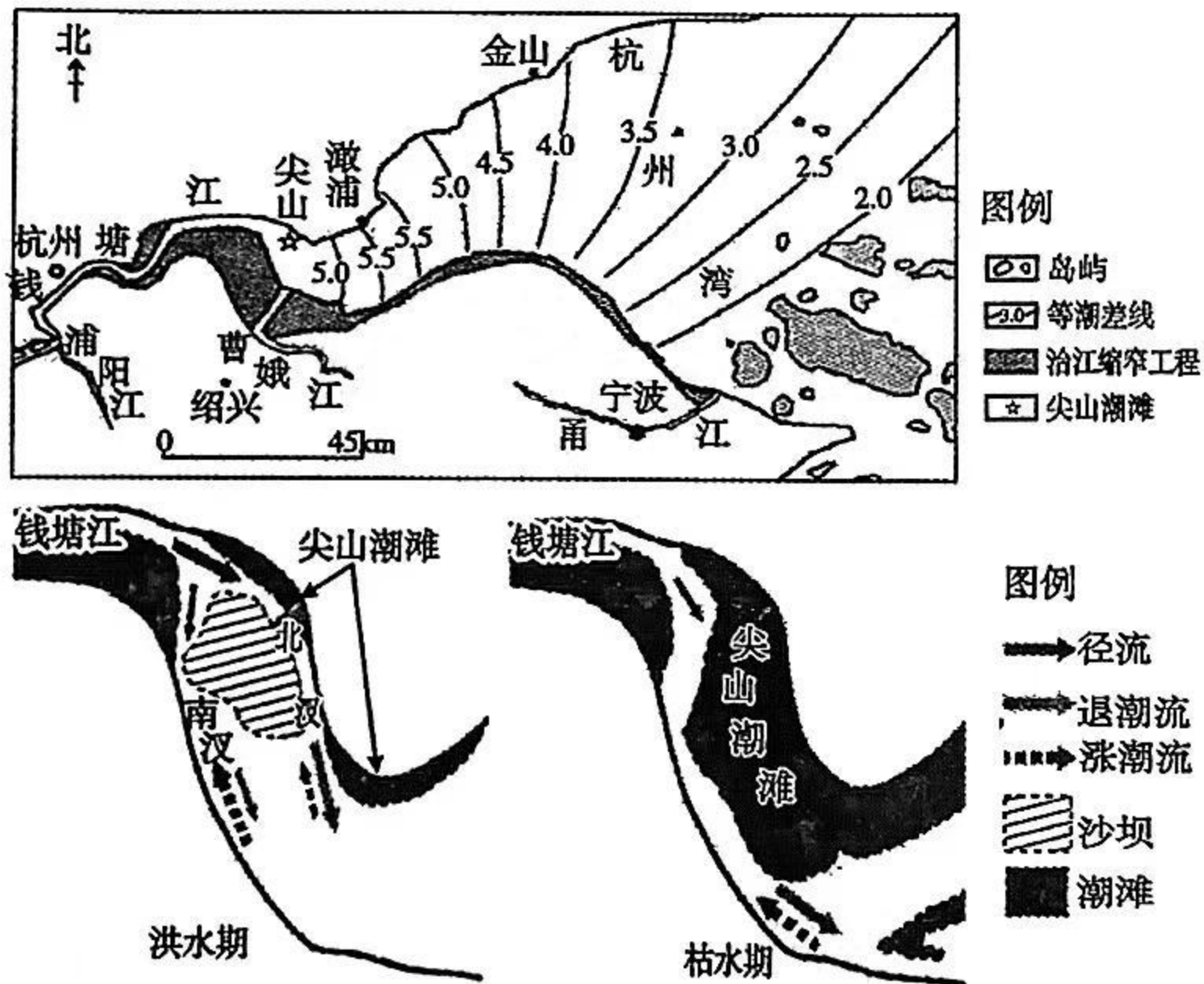


图7

(1) 指出金山以东的杭州湾南、北海域潮差差异, 并说明原因。(6 分)

(2) 推测治江缩窄工程对潮汐进水量和涌潮起点的影响。(6 分)

(3) 分析钱塘江径流和潮水对尖山潮滩形态的作用。(8 分)

18. 阅读图文材料,完成下列要求。(15分)

孢粉是植物的孢子和花粉的统称,地层中的孢粉能反映地质历史时期的植被群落及其演替。大兴安岭北部某盆地多年冻土发育,森林和湿地交错分布。研究发现,盆地内 30kaBP(3万年)以来经历了多次气候变化,植被演替明显,沉积地层可划分为 5 个孢粉带(图 8),各孢粉带的孢粉占比组合差异显著(表 2)。研究认为,气候导致的冻土环境变化是冰盛期该地植被演替的主要驱动力。

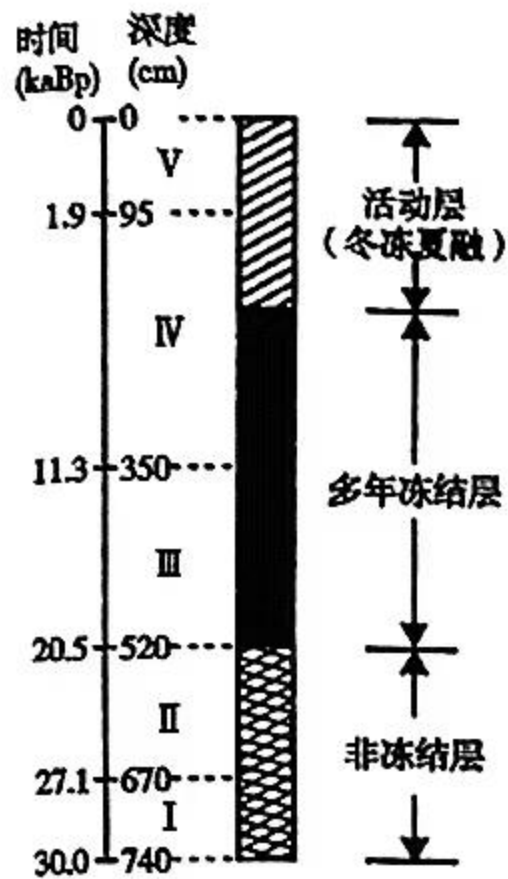


图8

表2

孢粉带 \ 孢粉类型	I	II	III	IV	V
乔灌木	29.6%	31.2%	53.8%	62.8%	70.1%
陆生草本	45.4%	59.9%	30.9%	11.3%	10.3%
水生草本	21.3%	6.8%	11.2%	9.6%	7.8%
蕨类苔藓	3.7%	2.1%	4.1%	15.3%	11.7%

(1)描述 27.1kaBP 以来,该盆地不同孢粉类型植被孢粉占比的变化特征。(3分)

(2)指出 I—V 中为冰盛期对应的孢粉带,并说明判断依据。(6分)

(3)从土壤环境变化的角度解释冰盛期该地优势物种形成的主要原因。(6分)